

Starkniederschlagshöhen und -spenden gemäß KOSTRA-DWD-2020

Rasterfeld 85125

(Zeile 85, Spalte 125)

Regenspende und Bemessungsniederschlagswerte in Abhängigkeit von Wiederkehrzeit T und Dauerstufe D

| Dauerstufe D | | Wiederkehrzeit T | | | | | | | | | | | | | | | | | |
|--------------|-----|------------------|------------|------|------------|------|------------|------|------------|------|------------|-------|------------|-------|------------|-------|------------|-------|------------|
| | | 1 a | | 2 a | | 3 a | | 5 a | | 10 a | | 20 a | | 30 a | | 50 a | | 100 a | |
| min | Std | mm | l / (s ha) | mm | l / (s ha) | mm | l / (s ha) | mm | l / (s ha) | mm | l / (s ha) | mm | l / (s ha) | mm | l / (s ha) | mm | l / (s ha) | mm | l / (s ha) |
| 5 | | 6,9 | 230,0 | 8,3 | 276,7 | 9,2 | 306,7 | 10,3 | 343,3 | 12,0 | 400,0 | 13,7 | 456,7 | 14,9 | 496,7 | 16,4 | 546,7 | 18,5 | 616,7 |
| 10 | | 8,6 | 143,3 | 10,4 | 173,3 | 11,5 | 191,7 | 13,0 | 216,7 | 15,1 | 251,7 | 17,2 | 286,7 | 18,6 | 310,0 | 20,5 | 341,7 | 23,1 | 385,0 |
| 15 | | 9,7 | 107,8 | 11,7 | 130,0 | 13,0 | 144,4 | 14,6 | 162,2 | 17,0 | 188,9 | 19,4 | 215,6 | 21,0 | 233,3 | 23,1 | 256,7 | 26,1 | 290,0 |
| 20 | | 10,6 | 88,3 | 12,7 | 105,8 | 14,1 | 117,5 | 15,9 | 132,5 | 18,5 | 154,2 | 21,1 | 175,8 | 22,9 | 190,8 | 25,1 | 209,2 | 28,4 | 236,7 |
| 30 | | 11,8 | 65,6 | 14,3 | 79,4 | 15,8 | 87,8 | 17,8 | 98,9 | 20,7 | 115,0 | 23,7 | 131,7 | 25,6 | 142,2 | 28,2 | 156,7 | 31,8 | 176,7 |
| 45 | | 13,2 | 48,9 | 16,0 | 59,3 | 17,7 | 65,6 | 19,9 | 73,7 | 23,1 | 85,6 | 26,5 | 98,1 | 28,6 | 105,9 | 31,5 | 116,7 | 35,6 | 131,9 |
| 60 | 1 | 14,3 | 39,7 | 17,3 | 48,1 | 19,1 | 53,1 | 21,5 | 59,7 | 25,0 | 69,4 | 28,6 | 79,4 | 31,0 | 86,1 | 34,1 | 94,7 | 38,5 | 106,9 |
| 90 | 1,5 | 15,9 | 29,4 | 19,3 | 35,7 | 21,3 | 39,4 | 24,0 | 44,4 | 27,9 | 51,7 | 31,9 | 59,1 | 34,5 | 63,9 | 38,0 | 70,4 | 42,9 | 79,4 |
| 120 | 2 | 17,2 | 23,9 | 20,8 | 28,9 | 23,0 | 31,9 | 25,9 | 36,0 | 30,1 | 41,8 | 34,4 | 47,8 | 37,3 | 51,8 | 41,0 | 56,9 | 46,3 | 64,3 |
| 180 | 3 | 19,2 | 17,8 | 23,2 | 21,5 | 25,6 | 23,7 | 28,9 | 26,8 | 33,5 | 31,0 | 38,4 | 35,6 | 41,5 | 38,4 | 45,7 | 42,3 | 51,6 | 47,8 |
| 240 | 4 | 20,7 | 14,4 | 25,0 | 17,4 | 27,6 | 19,2 | 31,1 | 21,6 | 36,2 | 25,1 | 41,4 | 28,8 | 44,8 | 31,1 | 49,3 | 34,2 | 55,7 | 38,7 |
| 360 | 6 | 23,0 | 10,6 | 27,8 | 12,9 | 30,8 | 14,3 | 34,7 | 16,1 | 40,3 | 18,7 | 46,1 | 21,3 | 49,8 | 23,1 | 54,8 | 25,4 | 61,9 | 28,7 |
| 540 | 9 | 25,6 | 7,9 | 30,9 | 9,5 | 34,2 | 10,6 | 38,6 | 11,9 | 44,8 | 13,8 | 51,2 | 15,8 | 55,5 | 17,1 | 61,0 | 18,8 | 68,9 | 21,3 |
| 720 | 12 | 27,6 | 6,4 | 33,4 | 7,7 | 36,9 | 8,5 | 41,6 | 9,6 | 48,3 | 11,2 | 55,3 | 12,8 | 59,8 | 13,8 | 65,8 | 15,2 | 74,3 | 17,2 |
| 1080 | 18 | 30,7 | 4,7 | 37,1 | 5,7 | 41,1 | 6,3 | 46,3 | 7,1 | 53,8 | 8,3 | 61,5 | 9,5 | 66,5 | 10,3 | 73,2 | 11,3 | 82,7 | 12,8 |
| 1440 | 24 | 33,1 | 3,8 | 40,0 | 4,6 | 44,3 | 5,1 | 49,9 | 5,8 | 58,0 | 6,7 | 66,3 | 7,7 | 71,8 | 8,3 | 78,9 | 9,1 | 89,1 | 10,3 |
| 2880 | 48 | 39,7 | 2,3 | 48,0 | 2,8 | 53,1 | 3,1 | 59,8 | 3,5 | 69,5 | 4,0 | 79,5 | 4,6 | 86,1 | 5,0 | 94,6 | 5,5 | 106,9 | 6,2 |
| 4320 | 72 | 44,2 | 1,7 | 53,4 | 2,1 | 59,1 | 2,3 | 66,5 | 2,6 | 77,3 | 3,0 | 88,4 | 3,4 | 95,7 | 3,7 | 105,2 | 4,1 | 118,9 | 4,6 |
| 5760 | 96 | 47,6 | 1,4 | 57,5 | 1,7 | 63,7 | 1,8 | 71,8 | 2,1 | 83,4 | 2,4 | 95,4 | 2,8 | 103,2 | 3,0 | 113,5 | 3,3 | 128,2 | 3,7 |
| 7200 | 120 | 50,5 | 1,2 | 61,0 | 1,4 | 67,5 | 1,6 | 76,1 | 1,8 | 88,4 | 2,0 | 101,1 | 2,3 | 109,4 | 2,5 | 120,3 | 2,8 | 135,9 | 3,1 |
| 8640 | 144 | 53,0 | 1,0 | 64,0 | 1,2 | 70,8 | 1,4 | 79,8 | 1,5 | 92,7 | 1,8 | 106,0 | 2,0 | 114,8 | 2,2 | 126,2 | 2,4 | 142,6 | 2,8 |
| 10080 | 168 | 55,2 | 0,9 | 66,6 | 1,1 | 73,7 | 1,2 | 83,1 | 1,4 | 96,5 | 1,6 | 110,4 | 1,8 | 119,5 | 2,0 | 131,4 | 2,2 | 148,5 | 2,5 |

Starkniederschlagshöhen und -spenden gemäß KOSTRA-DWD-2020

Rasterfeld 85125

(Zeile 85, Spalte 125)

Örtliche Unsicherheiten in Abhängigkeit von Wiederkehrzeit T und Dauerstufe D

| Dauerstufe D | | Wiederkehrzeit T | | | | | | | | |
|--------------|-----|------------------|-----|-----|-----|------|------|------|------|-------|
| | | 1 a | 2 a | 3 a | 5 a | 10 a | 20 a | 30 a | 50 a | 100 a |
| min | Std | ± % | ± % | ± % | ± % | ± % | ± % | ± % | ± % | ± % |
| 5 | | 12 | 14 | 14 | 15 | 16 | 17 | 18 | 18 | 19 |
| 10 | | 14 | 17 | 18 | 19 | 20 | 21 | 21 | 22 | 22 |
| 15 | | 16 | 18 | 19 | 20 | 21 | 22 | 22 | 23 | 24 |
| 20 | | 16 | 18 | 19 | 20 | 21 | 22 | 23 | 24 | 24 |
| 30 | | 16 | 18 | 19 | 20 | 22 | 23 | 23 | 24 | 25 |
| 45 | | 16 | 18 | 19 | 20 | 21 | 22 | 23 | 23 | 24 |
| 60 | 1 | 15 | 18 | 18 | 20 | 21 | 22 | 22 | 23 | 24 |
| 90 | 1,5 | 14 | 16 | 18 | 19 | 20 | 21 | 21 | 22 | 23 |
| 120 | 2 | 13 | 16 | 17 | 18 | 19 | 20 | 21 | 21 | 22 |
| 180 | 3 | 12 | 14 | 15 | 17 | 18 | 19 | 19 | 20 | 21 |
| 240 | 4 | 12 | 14 | 15 | 16 | 17 | 18 | 18 | 19 | 20 |
| 360 | 6 | 11 | 12 | 13 | 14 | 16 | 17 | 17 | 18 | 18 |
| 540 | 9 | 10 | 11 | 12 | 13 | 15 | 16 | 16 | 17 | 17 |
| 720 | 12 | 9 | 11 | 12 | 13 | 14 | 15 | 15 | 16 | 16 |
| 1080 | 18 | 9 | 10 | 11 | 12 | 13 | 14 | 14 | 15 | 15 |
| 1440 | 24 | 9 | 10 | 11 | 11 | 12 | 13 | 14 | 14 | 15 |
| 2880 | 48 | 10 | 10 | 11 | 11 | 12 | 12 | 13 | 13 | 14 |
| 4320 | 72 | 11 | 11 | 11 | 11 | 12 | 12 | 13 | 13 | 13 |
| 5760 | 96 | 12 | 12 | 12 | 12 | 12 | 12 | 13 | 13 | 13 |
| 7200 | 120 | 13 | 12 | 12 | 12 | 12 | 13 | 13 | 13 | 13 |
| 8640 | 144 | 14 | 13 | 13 | 13 | 13 | 13 | 13 | 13 | 14 |
| 10080 | 168 | 15 | 14 | 13 | 13 | 13 | 13 | 13 | 14 | 14 |

Parameter für abweichende T und D

Lokationsparameter ξ (Xi)

14,41805405

Skalenparameter α (Alpha)

4,17095927

Formparameter κ (Kappa)

-0,1

1. Koutsoyiannis-Parameter θ (Theta)

0,01088645

2. Koutsoyiannis-Parameter η (Eta)

0,7380179

Parameter für dauerstufenübergreifende Extremwertschätzung nach KOUTSOYIANNIS et al. 1998.

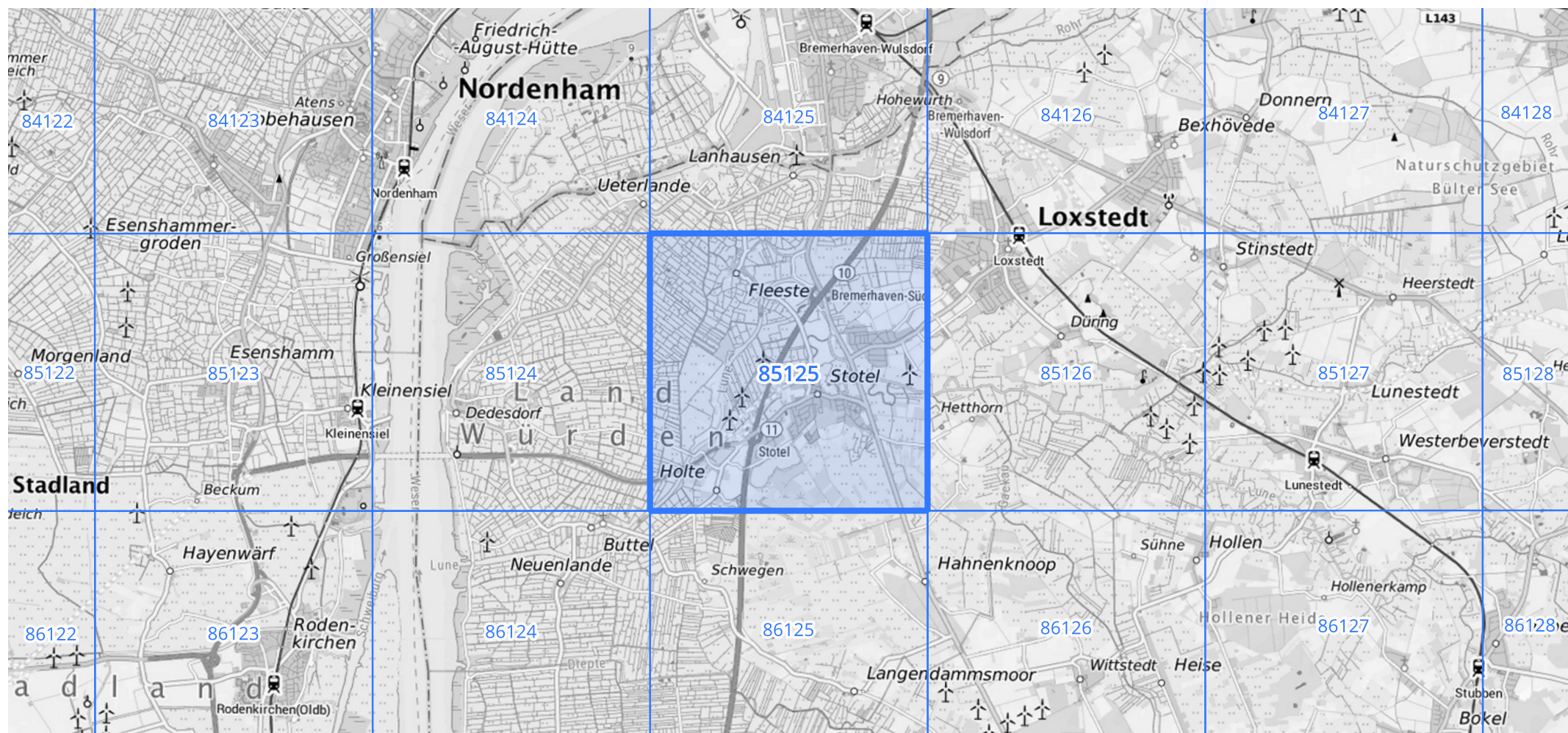
Siehe auch Anwendungshilfe zu KOSTRA-DWD-2020 des Deutschen Wetterdienstes.

Starkniederschlagshöhen und -spenden gemäß KOSTRA-DWD-2020

Rasterfeld 85125

(Zeile 85, Spalte 125)

Übersichtskarte des Rasterfeldes 85125, M 1 : 100 000



Quelle Rasterdaten: KOSTRA-DWD-2020 des Deutschen Wetterdienstes, Stand 12/2022.

Seite 3 von 3

Kartendarstellung: © Bundesamt für Kartographie und Geodäsie (2023), Datenquellen: https://sgx.geodatenzentrum.de/web_public/gdz/datenquellen/Datenquellen_TopPlusOpen.html

Für die Richtigkeit und Aktualität der Angaben wird keine Gewähr übernommen. Erstellt 01/2023.